
ОБРАБОТКА СИГНАЛОВ И ПОЛЕЙ В ИНФОРМАЦИОННО-ТЕЛЕКОММУНИКАЦИОННЫХ СИСТЕМАХ

УДК 621.396.2

СИНТЕЗ ОПТИМАЛЬНЫХ СИГНАЛЬНЫХ БАЗИСОВ ВЕЙЛЯ-ГЕЙЗЕНБЕРГА ДЛЯ OFDM СИСТЕМ

В. П. Волчков, Д. Ю. Казаков

В последнее время широкое распространение получила технология мультиплексирования с ортогональным частотным разделением (OFDM) [1, 2].

К преимуществам данной технологии относятся: возможность эффективной борьбы с межсимвольной интерференцией в частотно-селективных каналах с релеевскими замираниями, устойчивость к импульсным помехам и высокая спектральная эффективность. Последнее обеспечивается благодаря плотной упаковке по частоте поднесущих каналов и возможности использования высоких индексов модуляции. Все указанные достоинства послужили причиной того, что технологию OFDM выбрали в качестве основы для реализации беспроводных сетей передачи данных: стандарты IEEE 802.11a, IEEE 802.11g для локальных сетей, стандарты IEEE 802.16 для сетей масштаба города.

Однако, одним из недостатком классических OFDM систем с гармоническим сигнальным базисом является эффект, связанный с потерей ортогональности между поднесущими в каналах с доплеровским рассеянием. Это приводит к росту ошибок при декодировании сигнала на приемной стороне. Кроме того, гармонический базис обладает повышенным уровнем внеполосного излучения, что требует применения специальных мер по фильтрации. Для преодоления указанных недостатков возникает необходимость в поиске других (негармонических) ортогональных базисов, мало чувствительных частотному рассеянию в канале и имеющих небольшой уровень внеполосного излучения. Данная статья посвящена разработке общего подхода к синтезу таких базисов и их применению в OFDM системах.

1. АНАЛИЗ ПРОБЛЕМЫ И ПОСТАНОВКА ЗАДАЧИ

Передаваемый OFDM/QAM сигнал можно представить следующим образом:

$$s(t) = \sum_{k=0}^{M-1} \sum_{l=-\infty}^{\infty} a_{k,l} \psi_{k,l}(t) = \sum_{k=0}^{M-1} \sum_{l=-\infty}^{\infty} a_{k,l} g(t - lT) \cdot \exp(2\pi j k F t), \quad t \in \mathbb{R} = (-\infty, \infty), \quad (1)$$

где M – количество поднесущих в OFDM сигнале; $a_{k,l}$ – комплексные QAM-символы;

$$\psi_{k,l}(t) = g(t - lT) \cdot \exp(2\pi j k F t), \quad k = 0, \dots, M-1, \quad l = 0, \pm 1, \pm 2, \dots \quad (2)$$

– множество сдвинутых по времени и частоте версий одной инициализирующей функции $g(t)$, которые образуют ортогональный базис Вейля-Гейзенберга [7]; $j = \sqrt{-1}$; $F = W/M$ – расстояние между поднесущими; W – полоса частот OFDM системы в герцах; T – символьный временной интервал. В дальнейшем функцию $g(t)$ будем называть формирующим импульсом OFDM сигнала.

Условие взаимной ортогональности базисных функций $\{\psi_{k,l}(t)\}$:

$$\langle \psi_{k,l}(t), \psi_{k',l'}(t) \rangle = \delta_{k,k'} \delta_{l,l'} \quad (3)$$

приводит к минимизации ошибок, обусловленных действием в канале аддитивного белого гауссовского шума. Однако в реальных дисперсионных каналах кроме аддитивного шума возникают помехи в виде межсимвольной интерференции (МСИ) и межканальной интерференции (МКИ). Искажения, вносимые в OFDM сигнал этими помехами, в первую очередь, зависят от частотно-временной локализации базисных функций $\psi_{k,l}(t)$, которая определяется эффективным носителем их функции неопределенности.

Для $\psi_{k,l}(t)$ и $\varepsilon > 0$, эффективным носителем функции неопределенности

$$A\psi_{k,l}(t, f) \triangleq \int_{-\infty}^{\infty} \psi_{k,l}\left(x + \frac{t}{2}\right) \overline{\psi_{k,l}\left(x - \frac{t}{2}\right)} \exp(-2\pi jfx) dx \quad (4)$$

называется множество точек частотно-временной плоскости

$$\text{supp}_\varepsilon(A\psi_{k,l}) \triangleq \{(t, f) : |A\psi_{k,l}(t, f)| > \varepsilon\}. \quad (5)$$

Из выражения (2) следует, что эффективные носители базисных функций $\psi_{k,l}(t)$ имеют одинаковые размеры и смешены относительно друг друга по времени и частоте, образуя в частотно-временной области некоторую упаковку. При этом размеры носителя полностью определяются частотно-временной локализацией формирующего импульса $g(t)$.

Физически, возникновение МСИ и МКИ в каналах с частотно-временным рассеянием объясняется потерей ортогональности между «возмущенными» базисными функциями сигнала на выходе канала, в результате чего процедура демодуляции этого сигнала на приемной стороне оказывается неоптимальной. Возникает просачивание информации из каждого поднесущего канала [2] в соседние. Причем величина возникающих при этом взаимных помех определяется тем, насколько быстро спадают «хвосты» функций неопределенности (4). Чем лучше частотно-временная локализация базисных функций, тем быстрее происходит этот спад, а значит меньше уровень МСИ и МКИ.

Оптимально локализованным является такой базис (или соответствующий формирующий фильтр), который в этих условиях приводит к минимальным значениям МСИ и МКИ, т.е. базис (или фильтр) с наилучшей локализацией и по времени, и по частоте. OFDM система с таким оптимальным базисом будет обладать робастным свойством – наименьшей чувствительностью к дисперсионным возмущениям в канале.

Очевидно, прямоугольная форма формирующего импульса $g(t)$, характерная для классической OFDM системы, не является оптимальной с точки зрения устойчивости к МКИ. Поскольку в этом случае локализация базисных функций $\psi_{k,l}(t)$ в частотной области будет наихудшей. По этой же причине в таких OFDM системах уровень внеполосного излучения оказывается завышенным.

Отметим, что обычно в OFDM системах для защиты от МСИ используется циклический префикс [1,2]. Это приводит к дополнительному увеличению длины OFDM символа (при сохранении той же информации), а значит уменьшению спектральной эффективности системы. Однако, применение префикса позволяет практически полностью избавиться от МСИ.

Спектральная эффективность OFDM системы в единицах [бит/с·Гц] определяется следующим образом

$$\rho = \frac{\beta}{TF}, \quad (6)$$

где β – количество бит в одном символе; $TF \geq 1$ – количество отсчетов комплексной огибающей OFDM сигнала, приходящихся на одну базисную функцию. Максимум спектральной эффективности достигается при $TF = 1$, что соответствует самой плотной

упаковке символов на частотно-временной плоскости. Однако, по теореме Бэлиана-Лоу существование хорошо локализованных (по времени и частоте) базисов для OFDM/QAM систем возможно только при $TF > 1$. На практике, лишь при значении $TF = 3/2$ можно получить базис с приемлемой частотно-временной локализацией. Но это соответствует разряженной частотно-временной упаковке базисных функций и приводит к потере спектральной эффективности.

Таким образом, синтез оптимальных OFDM/QAM систем приводит к задаче поиска компромисса между локализацией базисных функций и спектральной эффективностью.

Однако, в OFDM/OQAM системах, основанных на смещенной QAM модуляции (OQAM), хорошая локализация базисных функций возможна даже в случае критической плотности отсчетов $TF = 1$ [6], т.е. при максимальной спектральной эффективности. Такая модуляция индуцируется естественным образом при переходе к сигнальному гильбертовому пространству с *вещественным скалярным произведением*

$$\langle x(t), y(t) \rangle_R \triangleq \operatorname{Re} \int_{-\infty}^{\infty} x(t) \cdot \overline{y(t)} dt, \quad (7)$$

где верхняя черта означает комплексное сопряжение.

Аналитическое выражение для OFDM сигнала с OQAM модуляцией выглядит следующим образом:

$$s(t) = \sum_{k=0}^{M-1} \left[\sum_{l=-\infty}^{\infty} c_{k,l}^R \psi_{k,l}^R(t) + \sum_{l=-\infty}^{\infty} c_{k,l}^I \psi_{k,l}^I(t) \right], \quad t \in \mathfrak{R} = (-\infty, \infty), \quad (8)$$

$$\psi_{k,l}^R(t) = g(t - lT) \exp(2\pi j F k(t - \frac{\alpha T}{2M})), \quad \psi_{k,l}^I(t) = g(t + T/2 - lT) \exp(2\pi j F k(t - \frac{\alpha T}{2M})), \quad (9)$$

где $c_{k,l}^R = \operatorname{Re}(a_{k,l})$, $c_{k,l}^I = \operatorname{Im}(a_{k,l})$ – действительные и мнимые части комплексных информационных QAM символов $a_{k,l}$; $\psi_{k,l}^R(t)$, $\psi_{k,l}^I(t)$ – комплексные функции, полученные в результате равномерных сдвигов по времени и частоте двух инициализирующих функций $g(t)$ и $g(t + T/2)$; M – количество поднесущих; $F = 1/T$ – расстояние между поднесущими. Дополнительный фазовый параметр α позволяет обеспечить физическую реализуемость базиса в виде банка соответствующих фильтров.

Система функций $\{\psi_{k,l}^R(t), \psi_{k,l}^I(t)\}$ нормирована и ортогональна в смысле вещественного скалярного произведения:

$$\begin{aligned} \langle \psi_{k,l}^R(t), \psi_{k,l'}^R(t) \rangle_R &= \delta_{kk'} \delta_{ll'}, \\ \langle \psi_{k,l}^I(t), \psi_{k,l'}^I(t) \rangle_R &= \delta_{kk'} \delta_{ll'}, \\ \langle \psi_{k,l}^R(t), \psi_{k,l'}^I(t) \rangle_R &= 0, \end{aligned} \quad (10)$$

и называется *обобщенным ортогональным базисом Вейля-Гейзенберга*. При этом для модулирующих OQAM коэффициентов справедливы выражения:

$$\begin{aligned} c_{k,l}^R &= \langle s(t), \psi_{k,l}^R(t) \rangle_R, \\ c_{k,l}^I &= \langle s(t), \psi_{k,l}^I(t) \rangle_R. \end{aligned}$$

Запишем теперь модель OFDM/OQAM сигнала в дискретном времени. Предположим, что выполнено $FT = 1$, тогда формирующий фильтр для $g(t)$ имеет полосу пропускания $F = 1/T$, а с учетом M сдвигов в частотной области ширина спектра

сигнала $s(t)$ равна $W = M/T$. Дискретизированный с критической частотой $f_d = W$ сигнал $s(t)$ можно записать в следующем виде:

$$s\left(n \frac{T}{M}\right) = \sum_{k=0}^{M-1} \left[\sum_{l=-\infty}^{\infty} c_{k,l}^R g\left(n \frac{T}{M} - lT\right) \exp\left(j \frac{2\pi}{T} k \left(n \frac{T}{M} - \frac{\alpha T}{2M}\right)\right) + \right. \\ \left. + \sum_{l=-\infty}^{\infty} j c_{k,l}^I g\left(n \frac{T}{M} + T/2 - lT\right) \exp\left(j \frac{2\pi}{T} k \left(n \frac{T}{M} - \frac{\alpha T}{2M}\right)\right) \right]. \quad (11)$$

Предполагая, что M – четное, и вводя обозначения $s[n] \triangleq s\left(n \frac{T}{M}\right)$ и $g[n] \triangleq g\left(n \frac{T}{M}\right)$, перепишем выражение (11) в виде:

$$s[n] = \sum_{k=0}^{M-1} \left[\sum_{l=-\infty}^{\infty} c_{k,l}^R g[n - lM] \exp\left(j \frac{2\pi}{M} k (n - \alpha/2)\right) + \right. \\ \left. + \sum_{l=-\infty}^{\infty} j c_{k,l}^I g[n + M/2 - lM] \exp\left(j \frac{2\pi}{M} k (n - \alpha/2)\right) \right]. \quad (12)$$

Для перехода на конечный дискретный интервал времени $J_N = \{0, 1, \dots, N-1\}$, $N = M \cdot L \geq M$ (L – любое натуральное число) выполним циклическую редукцию формирующей функции, положив $g[n] = g[(n)_{\text{mod } N}]$. Тогда выражение (12) принимает вид:

$$s[n] = \sum_{k=0}^{M-1} \left(\sum_{l=0}^{L-1} c_{k,l}^R \cdot \psi_{k,l}^R[n] + \sum_{l=0}^{L-1} c_{k,l}^I \cdot \psi_{k,l}^I[n] \right), \quad n \in J_N \quad (13)$$

$$\psi_{k,l}^R[n] = g[(n - lM)_{\text{mod } N}] \exp\left(j \frac{2\pi}{M} k (n - \alpha/2)\right), \quad (14)$$

$$\psi_{k,l}^I[n] = j \cdot g[(n + M/2 - lM)_{\text{mod } N}] \exp\left(j \frac{2\pi}{M} k (n - \alpha/2)\right).$$

Система базисных функций $\{\psi_{k,l}^R[n], \psi_{k,l}^I[n]\}$ ортогональна в смысле вещественного скалярного произведения

$$\langle x[n], y[n] \rangle_R \triangleq \operatorname{Re} \sum_{n=0}^{N-1} x[n] \cdot \bar{y}[n] \quad (15)$$

и является дискретным аналогом системы (9). Условие ортогональности (10) в данном случае можно представить в матричном виде

$$\operatorname{Re}(U^* U) = I_{2L}, \quad (16)$$

где “*” – символ эрмитового сопряжения; I_{2N} – единичная $(2N \times 2N)$ -матрица; $U = (U_R, U_I)$ – блочная прямоугольная матрица размерности $(N \times 2N)$, у которой блоки U_R , U_I – квадратные $(N \times N)$ -матрицы, составленные из столбцов соответствующих базисных функций $\tilde{\psi}_{k,l}^R = (\psi_{k,l}^R[0], \dots, \psi_{k,l}^R[N-1])^T$, $\tilde{\psi}_{k,l}^I = (\psi_{k,l}^I[0], \dots, \psi_{k,l}^I[N-1])^T$ для всех значений индексов $k = 0, \dots, M-1$, $l = 0, \dots, L-1$.

Формула (13) описывает алгоритм формирования (модуляции) OFDM/OQAM сигнала в дискретном времени. Соответствующий алгоритм демодуляции имеет вид:

$$c_{k,l}^R = \langle s[n], \psi_{k,l}^R[n] \rangle_R, \quad c_{k,l}^I = \langle s[n], \psi_{k,l}^I[n] \rangle_R.$$

Для построения рабочей OFDM/OQAM системы, наименее чувствительной к частотно-временному рассеянию канала, необходимо решить задачу синтеза обобщенного ортогонального базиса Вейля-Гейзенберга, для которого функция неопределенности формирующего импульса

$$\Psi_g(t, f) \triangleq Ag(t, f) = \int_{-\infty}^{\infty} g(x + t/2) \overline{g(x - t/2)} \exp(-2\pi Jfx) dx \quad (17)$$

обладает максимальной локализацией одновременно по t и f . Данный критерий оптимальности соответствует нахождению ортогональной системы $\{\psi_{k,l}^R(t), \psi_{k,l}^I(t)\}$, для которой левая часть неравенства

$$\left(\int_{-\infty}^{\infty} (t - \tau)^2 |g(\tau)|^2 d\tau \right) \left(\int_{-\infty}^{\infty} (f - \nu)^2 |g_*(f)|^2 df \right) \geq \frac{\|g(t)\|^4}{16\pi^2}, \quad (18)$$

описывающего принцип Гейзенберга, достигает минимального значения (здесь $g_*(f) = F(g(t))$ – преобразование Фурье формирующей функции $g(t)$). Известно [4], что равенство достигается в случае, если $g(t)$ является функцией Гаусса. Следовательно, базис, основанный на сдвигах по времени и частоте формирующей функции вида

$$g_0(t) = (2\sigma)^{1/4} \exp(-\pi\sigma t^2), \quad t \in \mathbb{R} = (-\infty, \infty),$$

будет оптимальным с точки зрения частотно-временной локализации. Он называется базисом Габора. К сожалению, этот базис не является ортогональным. Поэтому он не подходит для построения робастной OFDM системы. Однако он может служить основой для построения ортогонального базиса с наилучшей частотно-временной локализацией.

По аналогии с предыдущим, определим комплексный сигнальный базис Габора на дискретном интервале времени J_N в виде блочной матрицы

$$G = (G_R, G_I), \quad (19)$$

где матрица G_R определяет базис подпространства для действительных компонент, модулирующих ОQAM символов $c_{k,l}^R$, а матрица G_I – для мнимых компонент $c_{k,l}^I$. Элементы этих матриц описываются выражениями:

$$G_R(n, IM + k) = g_0 \left[(n - IM)_{\text{mod}_N} \right] \cdot \exp \left(2\pi J \frac{k}{M} (n - \alpha/2) \right), \quad (20)$$

$$G_I(n, IM + k) = j \cdot g_0 \left[(n + M/2 - IM)_{\text{mod}_N} \right] \cdot \exp \left(2\pi J \frac{k}{M} (n - \alpha/2) \right), \quad (21)$$

$$n = 0, \dots, N-1, \quad k = 0, \dots, M-1, \quad l = 0, \dots, L-1, \quad N = LM.$$

Отметим, что матрица базиса G является прямоугольной, размерности $N \times 2N$, а комплексные базисные функции Габора располагаются в ней по столбцам. Кроме того, G не удовлетворяет условию ортогональности (16).

Если провести ортогонализацию базиса G стандартной процедурой, например Грамма-Шмидта, то это приведет к значительному ухудшению частотно-временной локализации. Чтобы избежать этого эффекта, рядом авторов [5] был предложен метод формирования ортогональных хорошо локализованных базисов с помощью специальных цифровых фильтров. При синтезе таких фильтров накладывается ряд ограничений на структуру их импульсной характеристики. Однако это создает определенные неудобства и ограничивает общность задачи поиска оптимально локализованных базисов.

Ниже предлагается более общий алгебраический подход к синтезу ортогональных базисов Вейля-Гейзенберга с наилучшей частотно-временной локализацией.

2. СИНТЕЗ ОПТИМАЛЬНОГО ОРТОГОНАЛЬНОГО БАЗИСА ВЕЙЛЯ-ГЕЙЗЕНБЕРГА

В дальнейшем выражением $M_{m,n}(\mathbb{F})$ будем обозначать множество всех матриц размера $m \times n$ над полем \mathbb{F} . Если $m = n$, будет использоваться сокращенная запись $M_n(\mathbb{F})$. Здесь \mathbb{F} или поле вещественных чисел \mathbb{R} или поле комплексных чисел \mathbb{C} .

Докажем следующую лемму.

Лемма 1. Пусть даны матрицы $U \in M_{N,2N}(\mathbb{C})$ и $U_B \in M_{2N}(\mathbb{R})$, которые связаны соотношением:

$$U_B = \begin{bmatrix} \operatorname{Re} U \\ \operatorname{Im} U \end{bmatrix}. \quad (22)$$

Утверждается, что для матрицы U условие

$$\operatorname{Re}(U^*U) = I_{2N} \quad (23)$$

выполняется тогда и только тогда, когда матрица U_B ортогональна, т.е.

$$U_B^*U_B = I_{2N}. \quad (24)$$

Доказательство. Представим матрицу U_B в виде блочной:

$$U_B = \begin{bmatrix} U_{11} & U_{12} \\ U_{21} & U_{22} \end{bmatrix},$$

$$U_{11}, U_{12}, U_{21}, U_{22} \in M_N(\mathbb{R}).$$

Тогда в этих обозначениях можно записать:

$$Ur = \operatorname{Re} U = \begin{bmatrix} U_{11} & U_{12} \end{bmatrix}, Ur \in M_{N,2N}(\mathbb{R}),$$

$$Ui = \operatorname{Im} U = \begin{bmatrix} U_{21} & U_{22} \end{bmatrix}, Ui \in M_{N,2N}(\mathbb{R}).$$

Преобразуем выражение (16):

$$U_B^*U_B = U_B^T U_B = \begin{bmatrix} U_{11}^T & U_{21}^T \\ U_{12}^T & U_{22}^T \end{bmatrix} \cdot \begin{bmatrix} U_{11} & U_{12} \\ U_{21} & U_{22} \end{bmatrix} = \begin{bmatrix} U_{11}^T U_{11} + U_{21}^T U_{21} & U_{11}^T U_{12} + U_{21}^T U_{22} \\ U_{12}^T U_{11} + U_{22}^T U_{21} & U_{12}^T U_{12} + U_{22}^T U_{22} \end{bmatrix} = I_{2N},$$

откуда вытекает система равенств:

$$\left. \begin{array}{l} U_{11}^T U_{11} + U_{21}^T U_{21} = I_N, \\ U_{12}^T U_{12} + U_{22}^T U_{22} = I_N, \\ U_{12}^T U_{11} + U_{22}^T U_{21} = 0, \\ U_{11}^T U_{12} + U_{21}^T U_{22} = 0. \end{array} \right\} \quad (25)$$

Теперь преобразуем равенство (23):

$$\begin{aligned} \operatorname{Re}(U^*U) &= \operatorname{Re}\left((Ur^T - j \cdot Ui^T)(Ur + j \cdot Ui)\right) = Ur^T Ur + Ui^TUi = \\ &= \begin{bmatrix} U_{11}^T \\ U_{12}^T \end{bmatrix} \cdot \begin{bmatrix} U_{11} & U_{12} \end{bmatrix} + \begin{bmatrix} U_{21}^T \\ U_{22}^T \end{bmatrix} \cdot \begin{bmatrix} U_{21} & U_{22} \end{bmatrix} = \begin{bmatrix} U_{11}^T U_{11} + U_{21}^T U_{21} & U_{11}^T U_{12} + U_{21}^T U_{22} \\ U_{12}^T U_{11} + U_{22}^T U_{21} & U_{12}^T U_{12} + U_{22}^T U_{22} \end{bmatrix} = I_{2N}, \end{aligned}$$

что также приводит нас к системе равенств (25). Таким образом, для справедливости выражения (24), как и для справедливости выражения (23), требуется выполнение одной и той же системы равенств (25). Следовательно, выражения (23) и (24) эквивалентны, что и требовалось доказать.

Из леммы 1 вытекает важное следствие.

Следствие 1.

Множество вещественных ортогональных матриц $\mathcal{V} = \{V \in M_{2N}(\mathbb{R}) : V^*V = I_{2N}\}$ совпадает с подмножеством матриц

$$\mathcal{U}_B = \{U_B = \begin{bmatrix} \operatorname{Re} U \\ \operatorname{Im} U \end{bmatrix}, U \in M_{N,2N}(\mathbb{C}) : \operatorname{Re}(U^*U) = I_{2N}\} \subset M_{2N}(\mathbb{R}). \quad (26)$$

При этом между подмножеством комплексных прямоугольных матриц $\mathfrak{A} = \{U \in M_{N,2N}(\mathbb{C}) : \operatorname{Re}(U^*U) = I_{2N}\}$ и множеством матриц \mathcal{V} существует взаимно однозначное соответствие (изоморфизм), определяемое равенствами:

$$V = \begin{bmatrix} \operatorname{Re} U \\ \operatorname{Im} U \end{bmatrix}, \quad U = V_1 + jV_2, \quad \text{где} \quad \begin{bmatrix} V_1 \\ V_2 \end{bmatrix} \triangleq V. \quad (27)$$

Сформулируем две алгебраические задачи на экстремум.

Задача 1. На подмножестве $\mathcal{A} = \{U \in M_{N,2N}(\mathbb{C}) : \operatorname{Re}(U^*U) = I_{2N}\}$ комплексных прямоугольных матриц, для которых справедливо выражение

$$\operatorname{Re}(U^*U) = I_{2N}, \quad (28)$$

необходимо найти оптимальную матрицу U_{onm} , которая доставляет минимум в задаче на экстремум

$$U_{onm} : \min_{U \in \mathcal{A}} \|G - U\|_E^2, \quad (29)$$

где $G \in M_{N,2N}(\mathbb{C})$ – матрица базиса Габора (19); $\|A\|_E^2 = \operatorname{tr}(AA^*)$ – матричная норма Фробениуса.

Таким образом, задача на экстремум (29) решается на некотором специальном подмножестве комплексных прямоугольных матриц \mathcal{A} .

Сформулируем другую экстремальную задачу.

Задача 2. На множестве $\mathcal{V} = \{V \in M_{2N}(\mathbb{R}) : V^*V = I_{2N}\}$ вещественных ортогональных матриц необходимо найти оптимальную матрицу V_{onm} , которая доставляет минимум в задаче на экстремум

$$V_{onm} : \min_{V \in \mathcal{V}} \|G_B - V\|_E^2, \quad (30)$$

где $G_B \in M_{2N}(\mathbb{R})$ связана с комплексной матрицей базиса Габора G соотношением

$$G_B = \begin{bmatrix} \operatorname{Re} G \\ \operatorname{Im} G \end{bmatrix}. \quad (31)$$

Теорема 1. Если матрица U_{onm} – решение задачи 1, то решение задачи 2 имеет вид

$$V_{onm} = \begin{bmatrix} \operatorname{Re} U_{onm} \\ \operatorname{Im} U_{onm} \end{bmatrix}. \quad (32)$$

И наоборот, если $V_{onm} = \begin{bmatrix} V_{1onm} \\ V_{2onm} \end{bmatrix}$, $V_{1onm}, V_{2onm} \in M_{N,2N}(\mathbb{R})$ – решение задачи 2, то

решение задачи 1 определяется выражением

$$U_{onm} = V_{1onm} + jV_{2onm}. \quad (33)$$

Доказательство.

Представим матрицу U в виде:

$$U = \operatorname{Re} U + j \cdot \operatorname{Im} U = Ur + j \cdot Ui.$$

По условию задачи 1 U удовлетворяет равенству (28), поэтому

$$\operatorname{Re}(Ur^T - j \cdot Ui^T)(Ur + j \cdotUi) = Ur^T Ur +Ui^TUi = I_{2N}. \quad (34)$$

Представим матрицу базиса Габора в виде $G = \operatorname{Re} G + j \operatorname{Im} G = Gr + jGi$ и преобразуем квадрат нормы (29) из задачи 1:

$$\|G - U\|_E^2 = \|Gr + jGi - Ur - jUi\|_E^2 = \|(Gr - Ur) + j(Gi - Ui)\|_E^2.$$

Заметим, что для любых вещественных матриц A, B справедливо

$$\begin{aligned} \|A + jB\|_E^2 &= \operatorname{tr}((A + jB)(A^T - jB^T)) = \\ &= \operatorname{tr}(AA^T + BB^T) + j \cdot \operatorname{tr}(BA^T - AB^T) = \operatorname{tr}(AA^T + BB^T). \end{aligned} \quad (35)$$

Воспользовавшись этим тождеством, преобразуем выражение (34):

$$\|(Gr - Ur) + j(Gi - Ui)\|_E^2 = \text{tr}(GrGr^T - GrUr^T - UrGr^T + UrUr^T + GiGi^T - GiUi^T - UiGi^T + UiUi^T).$$

Учитывая, что из (34) следует $\text{tr}(UrUr^T + UiUi^T) = 2N$, а величина $\text{tr}(GrGr^T + GiGi^T)$ не зависит от U , приходим к выводу, что минимизация матричной нормы из задачи 1 сводится к максимизации выражения

$$\text{tr}(GrUr^T + UrGr^T + GiUi^T + UiGi^T) = 2\text{tr}(GrUr^T + GiUi^T) = 2\text{tr}\begin{pmatrix} Gr \\ Gi \end{pmatrix}(Ur^T, Ui^T) = 2\text{tr}(G_B^T U_B),$$

т. е. эквивалентная экстремальная задача принимает вид,

$$\{U_{Bonm}\}: \text{tr}(G_B U_B^T) \rightarrow \max_{U_B \in \mathcal{U}_B}. \quad (36)$$

Рассмотрим теперь матричную норму из задачи 2:

$$\begin{aligned} \|G_B - V\|_E^2 &= \text{tr}((G_B - V)(G_B - V)^T) = \text{tr}(G_B G_B^T - G_B V^T - V G_B^T + VV^T) = \\ &= \text{tr}(G_B G_B^T) - 2\text{tr}(G_B V^T) + \text{tr}(VV^T). \end{aligned} \quad (37)$$

В этом выражении слагаемое $\text{tr}(G_B G_B^*) = \text{const}$. Кроме того, $\text{tr}(VV^T) = 2N$, поскольку V ортогональная $(2N \times 2N)$ -матрица. Следовательно, минимизация матричной нормы (30) из задачи 2 сводится к максимизации выражения $\text{tr}(G_B V^T)$, т.е.

$$\{V_{onm}\}: \text{tr}(G_B V^T) \rightarrow \max_{V \in \mathcal{V}}. \quad (38)$$

Но согласно следствию 1, множества матриц, \mathcal{U}_B и \mathcal{V} , по которым ищутся максимумы выражений (36) и (38), совпадают. Поэтому соответствующие множества оптимальных решений $\{U_{Bonm}\}$, $\{V_{onm}\}$ также совпадут, а оптимальные решения $\{U_{onm}\}$ исходной задачи 1 могут быть получены из решений $\{V_{onm}\}$ на основе формул (27). В результате приходим к соотношениям (32), (33), которые требовалось доказать.

Ниже будет показано, что все оптимальные решения $\{U_{onm}\}$ доставляют один и тот же минимум нормы (29). Поэтому на практике достаточно найти только одно из этих решений.

Таким образом, мы показали, что для вычисления матрицы обобщенного ортогонального базиса Вейля-Гейзенберга (10) с наилучшей частотно-временной локализацией достаточно решить задачу 2.

Рассмотрим спектральное разложение матрицы $G_B G_B^*$:

$$G_B G_B^* = S \Lambda S^*. \quad (39)$$

В этом выражении Λ есть диагональная матрица, на главной диагонали которой стоят собственные (положительные) значения $\{\lambda_i\}$ матрицы $G_B G_B^*$, а S это ортогональная матрица, столбцы которой представляют собой ортонормированные собственные вектора $\{s_i\}$ матрицы $G_B G_B^*$:

$$S = [s_1, s_2, \dots, s_{2N}]. \quad (40)$$

Положим:

$$\Sigma = \Lambda^{1/2}, \quad (41)$$

$$W = G_B^* S \Sigma^{-1}. \quad (42)$$

Можно показать, что W – ортогональная матрица. Действительно,

$$W^* = (G_B^* S \Sigma^{-1})^* = \Sigma^{-1} S^* G_B,$$

$$W^* W = \Sigma^{-1} S^* G_B G_B^* S \Sigma^{-1} = \Sigma^{-1} S^* S \Lambda S^* S \Sigma^{-1} = \Sigma^{-1} \Lambda \Sigma^{-1} = I.$$

Таким образом, из (42) следует, что матрицу G_B можно представить в виде произведения двух ортогональных матриц и одной диагональной:

$$G_B = S\Sigma W^*. \quad (43)$$

Теорема 2. Оптимальная матрица V_{onm} из множества $\mathcal{V} = \{V \in M_{2N}(\mathbb{R}) : V^*V = I_{2N}\}$ вещественных ортогональных матриц, которая доставляет минимум в задаче на экстремум V_{onm} : $\min_{V \in \mathcal{V}} \|G_B - V\|_E^2$, где $G_B \in M_{2N}(\mathbb{R})$, определяется выражением

$$V_{onm} = SW^*. \quad (44)$$

Ортогональные матрицы S и W находятся из спектрального разложения $G_B G_B^*$ согласно (40) и (42).

Доказательство.

Преобразуем матричную норму:

$$\|G_B - V\|_E^2 = \langle G_B - V, G_B - V \rangle_E = \|G_B\|_E^2 - 2\langle G_B, V \rangle_E + \|V\|_E^2, \quad (45)$$

где $\langle A, B \rangle_E \triangleq \text{tr}(AB^*)$. Таким образом, для минимизации выражения (45) следует искать ортогональную матрицу V , максимизирующую функцию $\langle G_B, V \rangle_E = \text{tr}(G_B V^*)$. Учитывая, что $G_B = S\Sigma W^*$, имеем

$$\text{tr}(G_B V^*) = \text{tr}(S\Sigma W^* V^*) = \text{tr}(\Sigma W^* V^* S) = \sum_{i=1}^{2N} \sqrt{\lambda_i} t_i, \quad (46)$$

где $\{\lambda_i\}$ – собственные значения матрицы $G_B G_B^*$, $T = [t_i] = W^* V^* S$ – ортогональная матрица. Максимум этой суммы достигается, когда все $t_i = 1$, т.е. когда $V = SW^*$, что и требовалось доказать.

Замечание. Решение (44) неоднозначно и определяет лишь общий вид матрицы оптимального базиса. Количество решений зависит от кратности собственных чисел матрицы $G_B G_B^*$. Если все собственные числа простые, то множество решений конечно, а их количество определяется числом возможных перестановок столбцов (собственных векторов $\{s_i\}$) матрицы S . Если у $G_B G_B^*$ имеются кратные собственные числа, то множество решений (44) бесконечно. Однако, при любых кратностях всем решениям соответствует один и тот же набор собственных чисел, а значит одно и то же значение достигаемого экстремума, поскольку :

$$\begin{aligned} \min_{V \in \mathcal{V}} \|G_B - V\|_E^2 &= \|G_B - V_{onm}\|_E^2 = \|G_B - SW^*\|_E^2 = \|G_B\|_E^2 + \|I\|_E^2 - 2 \sum_{i=1}^{2N} \sqrt{\lambda_i} = \\ &= \sum_{i=1}^{2N} \lambda_i + 2N - 2 \sum_{i=1}^{2N} \sqrt{\lambda_i} = \sum_{i=1}^{2N} (\sqrt{\lambda_i} - 1)^2. \end{aligned}$$

Таким образом, степень приближения оптимальной ортогональной матрицы V_{onm} к матрице G_B (качество аппроксимации) определяется локализацией собственных значений $\{\lambda_i\}$ матрицы $G_B G_B^*$ около единицы.

Согласно доказанным теоремам 1 и 2, решение задачи 1 будет определяться выражением

$$U_{onm} = V_{1onm} + jV_{2onm}, \quad (46)$$

где матрицы V_{1onm} и V_{2onm} находятся из блочного разбиения: $V_{onm} = SW^* = \begin{bmatrix} V_{1onm} \\ V_{2onm} \end{bmatrix}$.

3. АЛГОРИТМ ФОРМИРОВАНИЯ ОПТИМАЛЬНОГО БАЗИСА ВЕЙЛЯ-ГЕЙЗЕНБЕРГА

Из доказанных выше теорем получаем следующий алгоритм построения оптимального базиса Вейля-Гейзенберга для OFDM/OQAM системы.

- Формируется матрица базиса Габора $G = [G_R, G_I]$, элементы которой определяются выражениями:

$$G_R(n, lM + k) = g_0 \left[(n - lM)_{\text{mod } N} \right] \cdot \exp \left(2\pi j \frac{k}{M} (n - \alpha/2) \right),$$

$$G_I(n, lM + k) = j \cdot g_0 \left[(n + M/2 - lM)_{\text{mod } N} \right] \cdot \exp \left(2\pi j \frac{k}{M} (n - \alpha/2) \right),$$

$$n = 0, \dots, N-1, k = 0, \dots, M-1, l = 0, \dots, L-1, N = LM.$$

- Записывается расширенная вещественная матрица Габора $G_B = \begin{bmatrix} \text{Re } G \\ \text{Im } G \end{bmatrix}$.
- Ищется спектральное разложение $G_B G_B^* = S \Lambda S^*$.
- Вычисляются матрицы $\Sigma = \Lambda^{1/2}$, $W = G_B^* S \Sigma^{-1}$.
- Вычисляется оптимальная вещественная ортогональная матрица $V_{onm} = SW^*$ (решение задачи 2).
- Из блочного разбиения $V_{onm} = \begin{bmatrix} V_{1onm} \\ V_{2onm} \end{bmatrix}$ находятся матрицы V_{1onm} и V_{2onm} .
- Строится матрица оптимального базиса Вейля-Гейзенберга $U_{onm} = V_{1onm} + jV_{2onm}$.

4. РЕЗУЛЬТАТЫ МОДЕЛИРОВАНИЯ

На основе предложенного метода были построены оптимальные ортогональные базисы различной длины и с разным числом поднесущих. С помощью пакета MatLab были исследованы локальные свойства полученных базисов в составе модифицированной OFDM системы.

На рис. 1 представлена одна из функций базиса Габора – ее вид во временной и частотных областях. На рис. 2 изображена соответствующая ей функция оптимального ортогонального базиса Вейля-Гейзенберга, полученного в результате применения описанной выше процедуры. Из сравнения кривых видно, что процедура ортогонализации базиса Габора привела к незначительному ухудшению временной и частотной локализации.

Как и следовало ожидать, характеристики ВЕК (см. рис. 3) у обеих исследуемых систем в канале с аддитивным белым гауссовским шумом при родственных типах модуляций 16QAM и 16OQAM совпадают.

На рис. 4 приведены графики спектральной плотности мощности сигналов OFDM и OFDM/OQAM, полученные с помощью авторегрессионного подхода. Видно, что уровень внеполосного излучения у сигнала OFDM/OQAM существенно ниже, чем у классического OFDM сигнала.

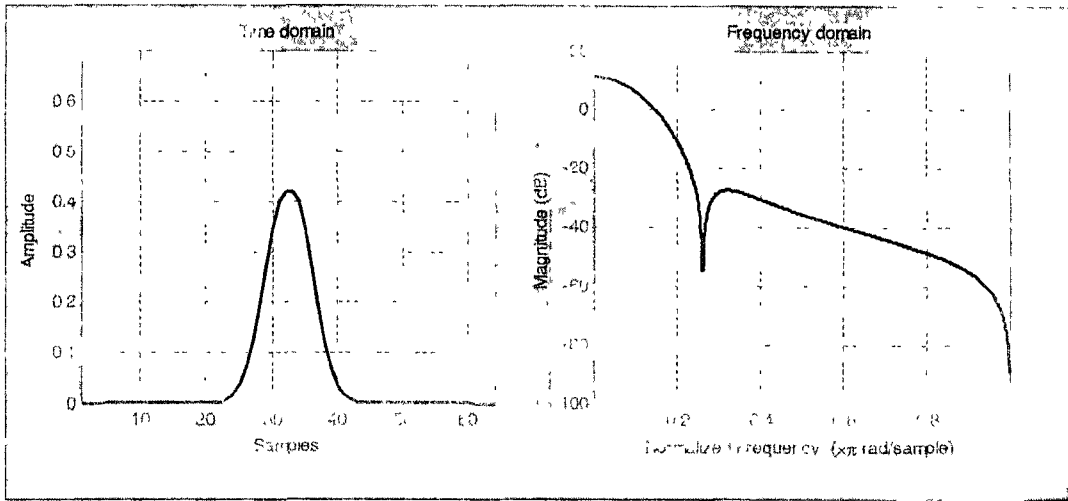


Рис. 1. Базис Габора во временной и частотных областях

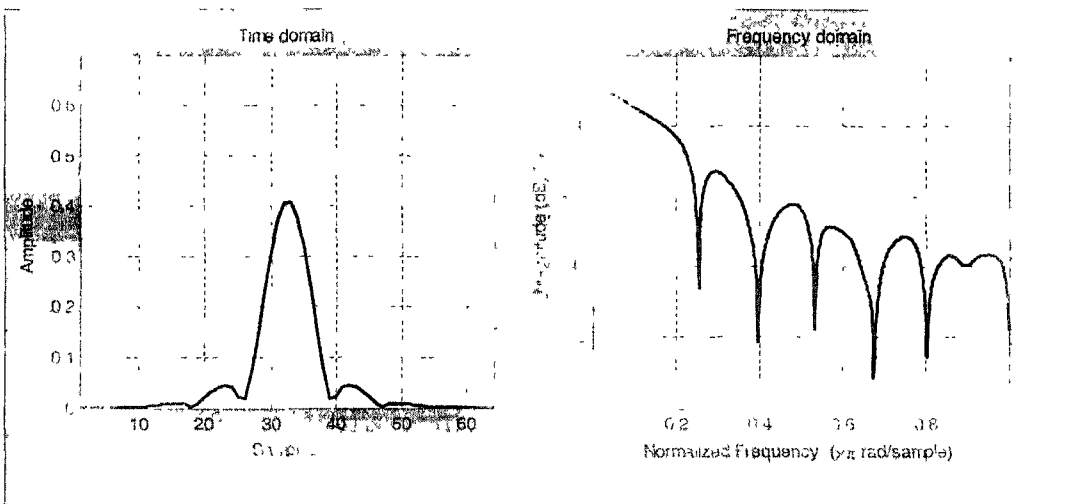


Рис. 2. Оптимальный базис Вейля-еизенберга, синтезированный с помощью предложенного метода

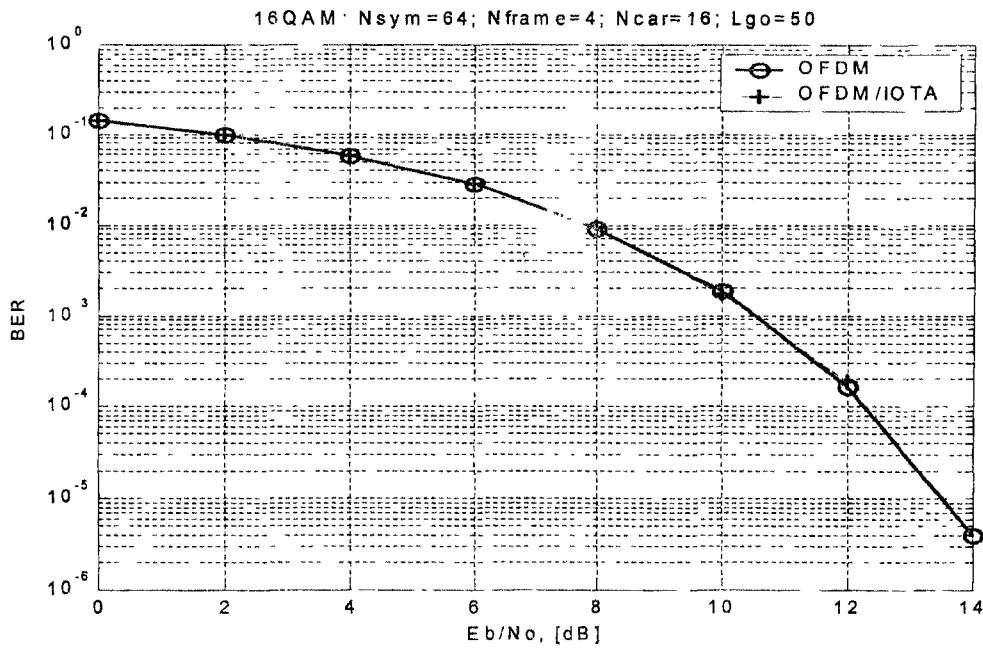


Рис. 3. Характеристики BER для систем OFDM и OFDM/IOTA (гауссовский канал)

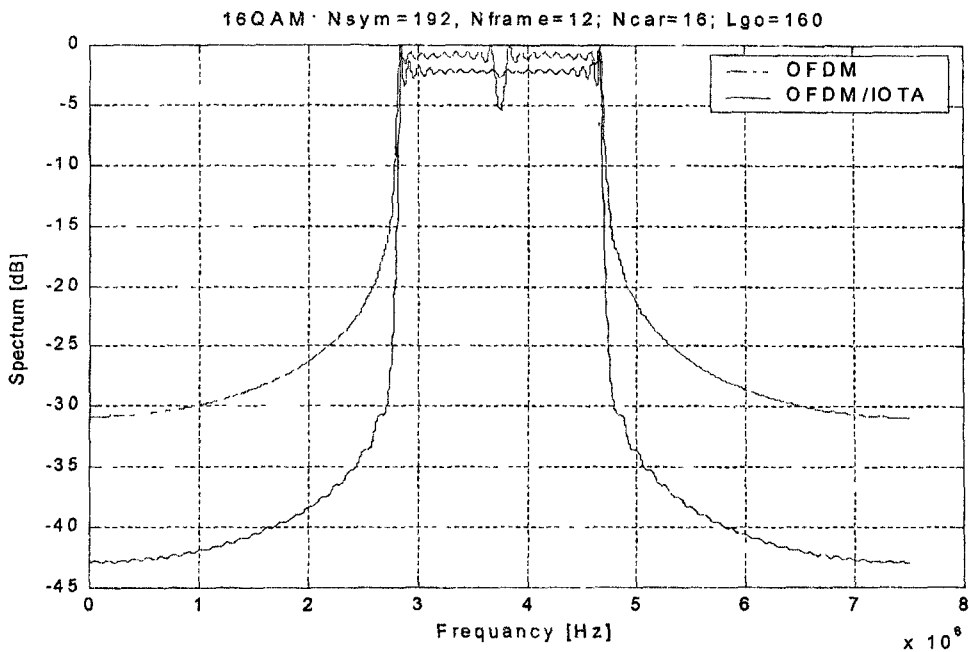


Рис. 4. Графики спектральной плотности мощности сигналов OFDM и OFDM/OQAM

Библиографический список

1. Fliege, N. J. Orthogonal multiple carrier data transmission [Text] / N. J. Fliege // European Transactions on Telecommunications. – 1992. – Vol. 3. – P. 225-253.
2. Zou, W. Y. COFDM: An overview [Text] / W.Y. Zou, Y. Wu // IEEE Trans. Broadc. – 1995. – Vol. 41. – P. 1-8.
3. Sari, H. Transmission techniques for digital terrestrial TV broadcasting [Text] / H. Sari, G. Karam, I. Jeanclaude // IEEE Communications Magazine. – 1995. – Feb. – P. 100-109.
4. Gabor, D. Theory of communication [Text] / D. Gabor // J. Inst. Elect. Eng. – 1946. – Vol. 93, № 3. – P. 429-457.
5. Bolcskei, H. Efficient design of OFDM/OQAM pulse shaping filter [Text] / H. Bolcskei, P. Duhamel, R. Hleiss // IEEE Trans. Comm. submitted. – 2000.
6. Le Floch, B. Coded Orthogonal Frequency Division Multiplex [Text] / B. Le Floch, M. Alard, C. Berrou // Proceedings of the IEEE. – 1995. – Vol. 83, № 6.
7. Bolcskei, H. Over sampled Wilson Expansions [Text] / H. Bolcskei, K. Grochenig, F. Hlawatsch, H. G. Feichtinger
- Хорн, Р. Матричный анализ [Текст] / Р. Хорн, Ч. Джонсон. – М. : Мир, 1989. – 652 с.

Список сокращений

- МСИ – Межсимвольная интерференция
 МКИ – Межканальная интерференция
 BER – вероятность ошибки на бит (Bit Error Rate)
 OFDM – Orthogonal Frequency Division Multiplexing (Мультиплексирование с ортогональным частотным разделением)
 OFDM/QAM – мультиплексирование с ортогональным частотным разделением с квадратурной амплитудной модуляцией (Orthogonal Frequency Division Multiplexing/Quadrature Amplitude Modulation)
 OFDM/OQAM – мультиплексирование с ортогональным частотным разделением со смещенной квадратурной амплитудной модуляцией (Orthogonal Frequency Division Multiplexing/Offset Quadrature Amplitude Modulation)
 OQAM – Offset Quadrature Amplitude Modulation (Смещенная квадратурная амплитудная модуляция)
 QAM – Quadrature Amplitude Modulation (Квадратурная амплитудная модуляция)